

## Рассеяние рентгеновских лучей на свободно подвешенных смектических-А пленках

© Л.В. Миранцев

Институт проблем машиноведения Российской академии наук,  
199178 Санкт-Петербург, Россия

E-mail: miran@microm.ipme.ru

(Поступила в Редакцию 7 декабря 1999 г.

В окончательной редакции 11 февраля 2000 г.)

Работа посвящена теоретическому исследованию зеркального отражения и диффузного рассеяния рентгеновских лучей на свободно подвешенной смектической-А пленке с учетом ее пространственной неоднородности и отклонения ориентационного и позиционного упорядочений в смектических слоях от идеального. Результаты расчетов сравниваются с данными экспериментов по малоугловому рассеянию рентгеновских лучей на свободно подвешенных пленках жидких кристаллов 7АВ. Отмечается согласие между теорией и экспериментом.

Работа выполнена при финансовой поддержке РФФИ (грант № 98-03-32448).

Жидкие кристаллы (ЖК) являются органическими соединениями, которые в большинстве случаев состоят из молекул, имеющих удлиненную форму [1,2]. Простейшей ЖК-фазой является нематический ЖК (НЖК), который отличается от обыкновенной изотропной жидкости наличием дальнего ориентационного порядка, когда длинные оси его молекул направлены преимущественно вдоль некоторого направления  $\mathbf{n}$ , называемого директором. В более упорядоченных смектических фазах (СЖК) помимо дальнего ориентационного порядка имеет место периодичность в некотором направлении, т.е. позиционный порядок. В наиболее простой из смектических фаз, так называемой смектической-А (Sm A) фазе, молекулы образуют эквидистантные слои, перпендикулярные направлению директора  $\mathbf{n}$ . При этом в плоскости самих слоев отсутствует какое-либо упорядочение в расположении центров масс молекул. Слоистая структура СЖК позволяет создавать из них свободно подвешенные пленки, которые не могут быть образованы изотропными жидкостями и НЖК. Площадь таких пленок может достигать  $\sim \text{cm}^2$  [3], а толщина варьируется от нескольких сотен слоев до двух и даже одного смектического слоя [4,5]. Это делает свободно подвешенные смектические пленки идеальными объектами для изучения кроссовера от поведения трехмерных физических систем к поведению двумерных систем и является причиной того, что в последние 10–20 лет они привлекают пристальное внимание как экспериментаторов [3–21], так и теоретиков [22–30].

Наиболее полную информацию о структуре свободно подвешенных смектических пленок можно получить с помощью экспериментов по малоугловому рассеянию рентгеновских лучей. Эти эксперименты позволяют определить толщину пленки, толщину содержащихся в ней смектических слоев [9,10], а также амплитуды тепловых флуктуаций в пленке и корреляции между ними [18–21]. Однако для получения этих сведений необходимо иметь теоретическую модель свободно подвешен-

ной смектической пленки любой наперед заданной толщины, адекватно описывающую ее равновесные характеристики и тепловые флуктуации в ней. В работах [22,23] Holyst'ом была предложена простая дискретная модель для описания таких флуктуаций смещения смектических слоев в свободно подвешенной смектической-А пленке, учитывающая сжатие и поперечный изгиб смектических слоев, а также поверхностное натяжение пленки. Затем в [24,25] был разработан более удобный для описания экспериментальных данных континуальный вариант этой теории. Эта модель позволяет довольно легко рассчитать профиль флуктуаций смещения смектических слоев пленки, корреляции между ними, а также вычислить угловые зависимости коэффициентов зеркального отражения и диффузного рассеяния рентгеновских лучей. С ее помощью удается довольно хорошо описать результаты экспериментов по малоугловому рассеянию рентгеновских лучей на свободно подвешенных пленках некоторых ЖК соединений [18,19].

В модели Holyst'a свободно подвешенная смектическая-А пленка предполагается пространственно однородной и характеризуется числом смектических слоев  $N$ , коэффициентом поверхностного натяжения  $\gamma$ , а также упругими модулями поперечного изгиба  $K$  и растяжения (сжатия)  $B$  смектических слоев. Эти модули считаются одинаковыми для всех слоев пленки независимо от их положения и приравниваются соответствующим упругим модулям в объеме Sm A фазы. В работе [30] было показано, что это допущение является физически оправданным только для температур значительно более низких, чем температуры фазовых переходов Sm A  $\rightarrow$  нематик (Sm A  $\rightarrow$  N) или Sm A  $\rightarrow$  изотропная фаза (Sm A  $\rightarrow$  I) в объеме ЖК. Однако проведенные в последние годы эксперименты [13,15–17,21] показывают, что свободно подвешенные смектические-А пленки некоторых ЖК соединений могут существовать и при температурах, значительно превышающих температуры фазовых переходов Sm A  $\rightarrow$  N или Sm A  $\rightarrow$  I. Согласно модели [26,27,29],

довольно хорошо описывающей поведение свободно подвешенных Sm A пленок при их нагревании выше температур исчезновения смектического порядка в объеме мезогенов, в этом случае внутренние слои пленки могут быть менее упорядоченными, чем слои вблизи ограничивающих свободных поверхностей. В таких пленках модули  $K$  и  $B$  должны уменьшаться с расстоянием до свободной поверхности и достигать минимальных значений в центре пленки. Поскольку пространственная неоднородность упругих характеристик смектических слоев совершенно не учитывается в модели [22,23] и ее континуальных модификациях [24,25], то в этом случае они должны давать неверные профили флуктуаций смещения смектических слоев и значения корреляций между ними.

Другим существенным недостатком модели Holyst'a является то, что Sm A структура в ней моделируется набором эквидистантных плоскостей, в которых располагаются центры масс ЖК-молекул, и совершенно не учитывается зависящее от температуры распределение центров масс молекул в пределах каждого слоя вдоль нормали к нему. Кроме того, все молекулы считаются ориентированными перпендикулярно плоскости смектических слоев, т.е. ориентационный порядок в пленке считается идеальным. Таким образом, в модели [22,23] совершенно не учитывается зависящий от температуры "внутренний беспорядок" в смектических слоях и отклонение одномерного позиционного упорядочения в пленке от идеального связывается только с гидродинамическими флуктуациями смещения смектических слоев от их равновесного положения. Вследствие этого коэффициенты зеркального отражения и диффузного рассеяния рентгеновских лучей на свободно подвешенных смектических-A пленках, вычисленные с помощью модели Holyst'a, оказываются почти не зависящими от температуры, что полностью противоречит результатам эксперимента [21]. Чтобы подогнать данные экспериментов по малоугловому рассеянию рентгеновских лучей на свободно подвешенных смектических-A пленках к результатам теории [22–25], в работах [18–21] средний квадрат полной амплитуды тепловых флуктуаций в пленке  $\sigma_{\text{tot}}^2$  считается состоящим из двух частей, а именно

$$\sigma_{\text{tot}}^2 = \sigma^2 + \sigma_{\text{loc}}^2, \quad (1)$$

где  $\sigma^2$  — средний квадрат амплитуды флуктуаций смещения слоев, определяемый с помощью модели [22,23], или ее континуальной модификации [25], а  $\sigma_{\text{loc}}^2$  — средний квадрат амплитуды флуктуаций, описывающих локальный беспорядок в смектических слоях. Последняя величина вводится ad hoc, причем результаты по зеркальному отражению рентгеновских лучей при температурах, значительно превышающих точку фазового перехода Sm A  $\rightarrow$  N в объеме ЖК, удается удовлетворительно описать, если допустить, что локальный беспорядок минимален вблизи свободных поверхностей пленки и максимален в ее центре. При этом, однако, упругие модули  $K$  и  $B$  считаются одинаковыми для всех слоев пленки. В [20,21] признается внутренняя противоречивость такого описания и отмечается необходимость усовершенствования модели Holyst'a для учета пространственной

неоднородности свободно подвешенной смектической-A пленки, а также внутреннего беспорядка в ее слоях.

В работе [30] было предложено простое обобщение дискретной модели Holyst'a [22,23], позволяющее рассчитывать амплитуды флуктуаций смещения слоев свободно подвешенной смектической-A пленки, а также корреляции между ними, с учетом зависимостей упругих модулей  $K$  и  $B$  от расстояния до ограничивающих поверхностей пленки. В свою очередь эти зависимости определяются с помощью микроскопической модели свободно подвешенной смектической-A пленки [26,27,29], являющейся обобщением хорошо известной модели Мак Миллана [31] для Sm A фазы в объеме ЖК. Эта модель учитывает распределение центров масс молекул внутри смектических слоев вдоль нормали к ним, а также отклонение ориентационного упорядочения в системе от идеального. В настоящей работе приводятся результаты расчетов коэффициентов зеркального отражения и диффузного рассеяния рентгеновского излучения на свободно подвешенной смектической-A пленке во всем температурном интервале ее существования, выполненных с помощью моделей, разработанных в [26,27,29,30]. Результаты расчетов согласуются с данными экспериментов по малоугловому рассеянию рентгеновских лучей на свободно подвешенных смектических-A пленках ЖК 7 AB (4, 4'-diheptylazoxybenzene) [20,21].

## 1. Зеркальное отражение и диффузное рассеяние рентгеновских лучей на свободно подвешенных смектических-A пленках

Интенсивность дифракции рентгеновских лучей на какой-либо системе пропорциональна Фурье-образу  $S(\mathbf{Q})$  корреляционной функции плотности электронов в системе, который определяется уравнением [22,23]

$$S(\mathbf{Q}) = \int d\mathbf{r} \int \langle \hat{\rho}(\mathbf{r}) \hat{\rho}(\mathbf{r}') \rangle \exp[i\mathbf{Q}(\mathbf{r} - \mathbf{r}')] d\mathbf{r}', \quad (2)$$

где  $\hat{\rho}(\mathbf{r})$  — оператор плотности электронов в системе,  $\mathbf{Q}$  — импульс отдачи при рассеянии рентгеновского излучения на этих электронах, а знак  $\langle \dots \rangle$  означает статистическое усреднение по тепловым флуктуациям в системе. В свою очередь оператор плотности электронов  $\hat{\rho}(\mathbf{r})$  для  $N$ -слойной свободно подвешенной смектической-A пленки может быть записан в виде

$$\hat{\rho}(z) = \rho_0 \sum_{k=1}^N \int_{-L/2 \cos \vartheta}^{L/2 \cos \vartheta} f_k(z - z', \vartheta) \times \Omega_k(z - z') \rho_e(z') dz' d \cos \vartheta. \quad (3)$$

Здесь  $\rho_0$  — плотность числа молекул в ЖК,  $\rho_e(z')$  — проекция плотности электронов в молекуле на ось  $z$ ,

перпендикулярную плоскости пленки,  $f_k(z - z', \vartheta)$  — одночастичная функция распределения молекул в  $k$ -м слое пленки,  $\vartheta$  — полярный угол между осью  $z$  и длинной осью молекулы,  $L$  — длина молекулы,  $\Omega_k(z - z')$  — ступенчатая функция, равная 1 при  $z_k^{(1)} \leq (z - z') \leq z_k^{(2)}$  и 0 при значениях  $z - z'$  вне этого интервала. В отсутствие флуктуаций смещения смектических слоев пленки координаты  $z_k^{(1)}$  и  $z_k^{(2)}$ , определяющие положение нижней и верхней граничных плоскостей  $k$ -го слоя пленки, могут быть записаны как  $(k - 1/2)d$  и  $(k + 1/2)d$  соответственно, где  $d$  — толщина смектического слоя. Если же  $k$ -й слой смещается вдоль оси  $z$  от положения равновесия на величину  $u_k(\mathbf{r}_\perp)$ , то эти координаты становятся равными  $(k - 1/2)d + u_k(\mathbf{r}_\perp)$  и  $(k + 1/2)d + u_k(\mathbf{r}_\perp)$ . Тогда уравнение (2) может быть записано в виде

$$\begin{aligned}
 S(\mathbf{Q}) &= \rho_0^2 \int d\mathbf{r}_\perp \int \exp[i\mathbf{Q}_\perp(\mathbf{r}_\perp - \mathbf{r}'_\perp)] d\mathbf{r}'_\perp \\
 &\times \left\langle \sum_{k=1}^N \int_{(k-1/2)d+u_k(\mathbf{r}_\perp)}^{(k+1/2)d+u_k(\mathbf{r}_\perp)} f_k(z - z'', \vartheta) \exp[iQ_z(z - z'')] \right. \\
 &\times d(z - z'') d \cos \vartheta \int_{-L/2 \cos \vartheta}^{L/2 \cos \vartheta} \rho_e(z'') \exp(iQ_z z'') dz'' \\
 &\times \sum_{n=1}^N \int_{(n-1/2)d+u_n(\mathbf{r}'_\perp)}^{(n+1/2)d+u_n(\mathbf{r}'_\perp)} f_n(z' - z''', \vartheta') \exp[iQ_z(z' - z''')] \\
 &\times d(z' - z''') d \cos \vartheta' \int_{-L/2 \cos \vartheta'}^{L/2 \cos \vartheta'} \rho_e(z''') \exp(-iQ_z z''') dz'''. \quad (4)
 \end{aligned}$$

Расчеты, проведенные в [22–25] и [30], показывают, что, как правило, амплитуды флуктуаций смещения слоев в свободно подвешенных смектических-А пленках  $\sigma_k = \langle u_k(\mathbf{r}_\perp)^2 \rangle^{1/2}$  много меньше толщины слоев  $d$ , а их профиль является достаточно гладким. В этом случае нетрудно показать, что уравнение (4) может быть приведено к следующему виду:

$$\begin{aligned}
 S(\mathbf{Q}) &= \rho_0^2 \int d\mathbf{r}_\perp \int \exp[i\mathbf{Q}_\perp(\mathbf{r}_\perp - \mathbf{r}'_\perp)] d\mathbf{r}'_\perp \\
 &\times \sum_{k=1}^N \sum_{n=1}^N \left\langle \exp[iQ_z(u_k(\mathbf{r}_\perp) - u_n(\mathbf{r}'_\perp))] \right\rangle \exp[iQ_z(k - n)d] \\
 &\times \int_{-d/2}^{+d/2} \exp(iQ_z z_1) dz_1 \int_0^1 f_k(z_1, \vartheta) S_{M1}(Q_z, \vartheta) d \cos \vartheta \\
 &\times \int_{-d/2}^{+d/2} \exp(-iQ_z z_2) dz_2 \int_0^1 f_n(z_2, \vartheta') S_{M2}(Q_z, \vartheta') d \cos \vartheta', \quad (5)
 \end{aligned}$$

где

$$S_{M1}(Q_z, \vartheta) = \int_{-L/2 \cos \vartheta}^{L/2 \cos \vartheta} \rho_e(z) \exp(iQ_z z) dz, \quad (6)$$

$$S_{M2}(Q_z, \vartheta) = \int_{-L/2 \cos \vartheta}^{L/2 \cos \vartheta} \rho_e(z) \exp(-iQ_z z) dz. \quad (7)$$

Если также допустить, что плотность распределения электронов в молекуле симметрична относительно ее центра масс, а одночастичные функции распределения являются четными функциями координаты  $z$ , то

$$\begin{aligned}
 S(\mathbf{Q}) &= 4\rho_0^2 \int d\mathbf{r}_\perp \int \exp[i\mathbf{Q}_\perp(\mathbf{r}_\perp - \mathbf{r}'_\perp)] d\mathbf{r}'_\perp \\
 &\times \sum_{k=1}^N \sum_{n=1}^N \left\langle \exp[iQ_z(u_k(\mathbf{r}_\perp) - u_n(\mathbf{r}'_\perp))] \right\rangle \\
 &\times \cos[(k - n)dQ_z] \tau_k(Q_z) \tau_n(Q_z), \quad (8)
 \end{aligned}$$

где

$$\tau_k(Q_z) = \int_{-d/2}^{+d/2} \cos(Q_z z) dz \int_0^1 f_k(z, \vartheta) S_M(Q_z, \vartheta) d \cos \vartheta, \quad (9)$$

$$S_M(Q_z, \vartheta) = \int_0^{L/2 \cos \vartheta} \rho_e(z) \cos(Q_z z) dz. \quad (10)$$

Наконец, если учесть, что

$$\begin{aligned}
 &\int d\mathbf{r}_\perp \int d\mathbf{r}'_\perp \exp[i\mathbf{Q}_\perp(\mathbf{r}_\perp - \mathbf{r}'_\perp)] \\
 &\times \left\langle \exp[iQ_z(u_k(\mathbf{r}_\perp) - u_n(\mathbf{r}'_\perp))] \right\rangle = S_0 \int d\mathbf{r}_\perp \exp(i\mathbf{Q}_\perp \mathbf{r}_\perp) \\
 &\times \exp\left[-(1/2)Q_z^2(\sigma_k^2 + \sigma_n^2 - 2\langle u_k(\mathbf{r}_\perp)u_n(0) \rangle)\right], \quad (11)
 \end{aligned}$$

где  $S_0$  — площадь поверхности пленки, то выражение для  $S(\mathbf{Q})$  может быть записано в следующей компактной форме:

$$\begin{aligned}
 S(\mathbf{Q}) &= 4\rho_0^2 S_0 \sum_{k=1}^N \sum_{n=1}^N \int d\mathbf{r}_\perp \exp(i\mathbf{Q}_\perp \mathbf{r}_\perp) \cos[(k - n)dQ_z] \\
 &\times \tau_k(Q_z) \tau_n(Q_z) F_{kn}(Q_z) C_{kn}(Q_z, \mathbf{r}_\perp), \quad (12)
 \end{aligned}$$

где

$$F_{kn}(Q_z) = \exp\left[-(1/2)Q_z^2(\sigma_k^2 + \sigma_n^2)\right], \quad (13)$$

$$C_{kn}(Q_z, \mathbf{r}_\perp) = \exp[Q_z^2 \langle u_k(\mathbf{r}_\perp)u_n(0) \rangle]. \quad (14)$$

Формула (12) отличается от аналогичного выражения для  $S(\mathbf{Q})$  в [23] лишь значениями коэффициентов  $\tau_k(Q_z)$ . В теории Holyst'a, предполагающей наличие идеального ориентационного и одномерного позиционного упорядочения в слоях свободно подвешенной смектической-А

пленки, эти коэффициенты просто равны молекулярному формфактору (10) при  $\vartheta = 0$ . Выражения для одночастичных функций распределения в каждом слое пленки приведены в [26,27]. Что касается формфактора  $S_M(Q_z, \vartheta)$ , то его вид зависит от конкретной модели, описывающей распределение электронов в молекуле ЖК. Например, если, как в [18–21], допустить, что молекулы ЖК состоят из сердцевин с плотностью электронов  $\rho_{\text{core}}$  и двух одинаковых алкильных хвостов с плотностью  $\rho_{\text{tail}}$ , то формфактор  $S_M(Q_z, \vartheta)$  дается следующим выражением:

$$S_M(Q_z, \vartheta) = (\rho_{\text{core}}/Q_z) \left\{ (\rho_{\text{tail}}/\rho_{\text{core}}) \sin(Q_z L \cos \vartheta / 2) - (\rho_{\text{tail}}/\rho_{\text{core}} - 1) \sin[Q_z(L/2 - d_{\text{tail}}) \cos \vartheta] \right\}, \quad (15)$$

где  $d_{\text{tail}}$  — длина алкильного хвоста.

Уравнение (12) описывает как зеркальное отражение рентгеновских лучей от свободно подвешенной смектической-А пленки, когда  $\mathbf{Q}_\perp = 0$ , так и диффузное рассеяние на ней, когда  $\mathbf{Q}_\perp \neq 0$ . Однако в целях дальнейшего упрощения этого выражения полезно рассматривать эти два частных случая отдельно. Рассмотрим сперва зеркальное отражение. Легко показать, что в этом случае множитель  $C_{kn}(Q_k, \mathbf{r}_\perp)$  в (12) можно с хорошей точностью просто приравнять единице. Действительно, при рассеянии рентгеновских лучей на свободно подвешенных пленках с поперечными размерами  $\sim 1$  см (такие пленки изучаются в реальных экспериментах [18–21]) доминирующий вклад в интенсивность рассеянного излучения вносят значения этого множителя с показателем экспоненты в (14) много меньше 0.1. Тогда для зеркального отражения рентгеновских лучей можно записать

$$S(Q_z) \approx 4\rho_0^2 S_0^2 \sum_{k=1}^N \sum_{n=1}^N \cos[(k-n)dQ_z] \tau_k(Q_z) \tau_n(Q_z) F_{kn}(Q_z). \quad (16)$$

Теперь рассмотрим диффузное рассеяние рентгеновских лучей ( $\mathbf{Q}_\perp \neq 0$ ). В этом случае можно разложить множитель  $C_{kn}(Q_k, \mathbf{r}_\perp)$  в (12) в ряд по степеням  $Q_z^2 \langle u_k(\mathbf{r}_\perp) u_n(0) \rangle$  и ограничиться первыми двумя членами разложения. Поскольку для пленок с макроскопическими поперечными размерами

$$\int \exp(i\mathbf{Q}_\perp \mathbf{r}_\perp) d\mathbf{r}_\perp = 0,$$

если  $\mathbf{Q}_\perp \neq 0$ , то вклад в интенсивность диффузного рассеяния вносит только второй член разложения и

$$S(Q_z, \mathbf{Q}_\perp) \approx 4\rho_0^2 S_0 \sum_{k=1}^N \sum_{n=1}^N \cos[(k-n)dQ_z] \tau_k(Q_z) \tau_n(Q_z) \times F_{kn}(Q_z) Q_z^2 \int \langle u_k(\mathbf{r}_\perp) u_n(0) \rangle \exp(i\mathbf{Q}_\perp \mathbf{r}_\perp) d\mathbf{r}_\perp. \quad (17)$$

Согласно [22,23], коррелятор  $\langle u_k(\mathbf{r}_\perp) u_n(0) \rangle$  равен

$$\langle u_k(\mathbf{r}_\perp) u_n(0) \rangle = \frac{k_B T}{(2\pi)^2} \int M_{kn}^{-1}(\mathbf{q}_\perp) \exp(-i\mathbf{q}_\perp \mathbf{r}_\perp) d\mathbf{q}_\perp, \quad (18)$$

где  $M_{kn}^{-1}(\mathbf{q}_\perp)$  — элемент матрицы, обратной матрице  $M_{kn}(\mathbf{q}_\perp)$ , приведенной в [30],  $k_B$  — постоянная Больцмана,  $T$  — абсолютная температура системы. Подставляя (18) в (17) и учитывая, что

$$\frac{1}{(2\pi)^2} \int \exp[i(\mathbf{Q}_\perp - \mathbf{q}_\perp) \mathbf{r}_\perp] d\mathbf{r}_\perp = \delta(\mathbf{Q}_\perp - \mathbf{q}_\perp), \quad (19)$$

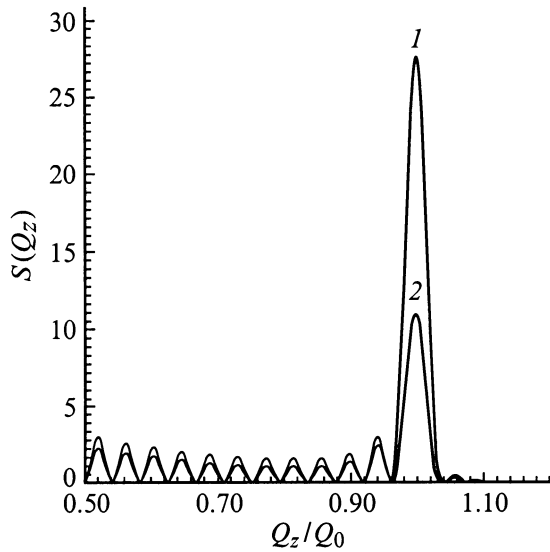
где  $\delta(\mathbf{x})$  — дельта-функция Дирака, получаем

$$S(Q_z, \mathbf{Q}_\perp) \approx 4\rho_0^2 S_0 k_B T \sum_{k=1}^N \sum_{n=1}^N \cos[(k-n)dQ_z] \times \tau_k(Q_z) \tau_n(Q_z) F_{kn}(Q_z) Q_z^2 M_{kn}^{-1}(\mathbf{Q}_\perp). \quad (20)$$

Уравнения (16) и (20) позволяют рассчитать коэффициенты зеркального отражения и диффузного рассеяния рентгеновского излучения на  $N$ -слоистой свободно подвешенной смектической-А пленке при любой температуре ее существования. При этом вся информация об ориентационном и позиционном упорядочении молекул содержится в коэффициентах  $\tau_k(Q_z)$ , коэффициенты  $F_{kn}(Q_n)$  определяют зависимость этих интенсивностей от амплитуд  $\sigma_k, \sigma_n$  флуктуаций смещения слоев пленки, а матричные элементы  $M_{kn}^{-1}(\mathbf{Q}_\perp)$  определяют зависимость интенсивности диффузного рассеяния от корреляций между этими флуктуациями. Следует также отметить, что и амплитуды флуктуаций  $\sigma_k$ , и матричные элементы  $M_{kn}^{-1}(\mathbf{Q}_\perp)$  в конечном счете также определяются зависящими от температуры профилями параметров ориентационного и позиционного порядка в пленке [30]. Таким образом, полученные соотношения позволяют непротиворечивым образом рассчитать коэффициенты зеркального отражения и диффузного рассеяния рентгеновского излучения на свободно подвешенной смектической-А пленке с учетом ее пространственно неоднородной и зависящей от температуры структуры.

## 2. Результаты численных расчетов и их обсуждение

Численные расчеты коэффициентов зеркального отражения и диффузионного рассеяния рентгеновского излучения проводились для свободно подвешенной смектической-А пленки, состоящей из  $N = 24$  слоев. При этом предполагалось, что она создана из ЖК со слабым фазовым переходом первого рода  $\text{Sm A} \rightarrow \text{N}$ . Такие пленки исследовались в экспериментах по малоугловому рассеянию рентгеновских лучей [20,21]. Значения используемых в расчетах модельных параметров брались такими же, что и в нашей предыдущей работе [30]. В качестве молекулярного формфактора  $S_M(Q_z, \vartheta)$  использовалось выражение (15), причем значения параметров



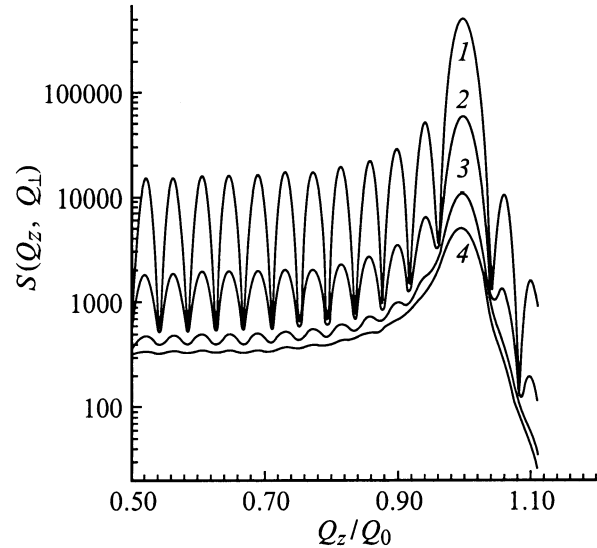
**Рис. 1.** Зависимость коэффициента зеркального отражения рентгеновского излучения (в произвольных единицах) от компоненты  $Q_z$  переданного импульса для 24-слойной свободно подвешенной смектической-А пленки. 1 —  $T = T_1$ ; 2 —  $T = T_2$ .

$(\rho_{\text{tail}}/\rho_{\text{core}}) = 1/1.5$  и  $d_{\text{tail}} = 0.23L$  брались такими же, что и в [20,21]. Расчеты проводились как при температурах значительно более низких, чем температура фазового перехода  $\text{Sm A} \rightarrow \text{N}$  в объеме ЖК, так и при температурах предельно высоких для существования свободно подвешенной смектической-А пленки заданной толщины.

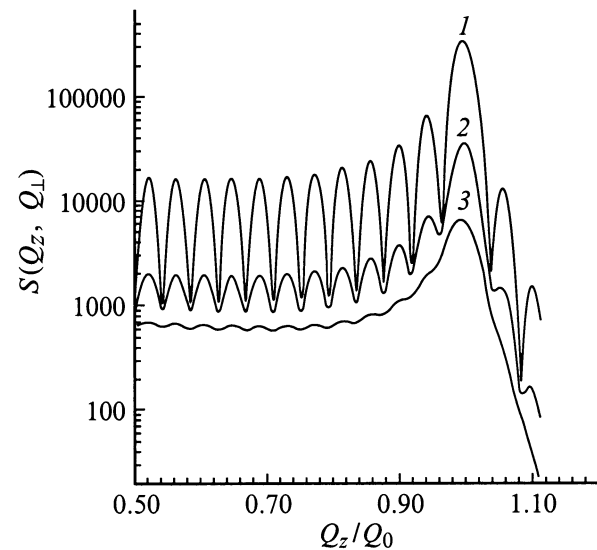
На рис. 1 приведены рассчитанные по формуле (16) зависимости коэффициента зеркального отражения рентгеновского излучения от компоненты переданного импульса  $Q_z$ . Кривая 1 соответствует температуре  $T = T_1$ , более низкой, чем температура перехода  $\text{Sm A} \rightarrow \text{N}$ , а кривая 2 — результат расчета при температуре  $T = T_2$ , близкой к предельно высокой температуре существования пленки.

Значения этих температур приведены в [30]. Согласно модели [26,27,29], при выбранных значениях модельных параметров нагревание 24-слойной свободно подвешенной смектической-А пленки выше предельной температуры  $T = T_2$  должно приводить к скачкообразному уменьшению ее толщины на целое число смектических слоев. Именно такой эффект наблюдался в экспериментах [20,21]. Обе кривые демонстрируют главные брэгговские пики при  $Q_z = Q_0 = 2\pi/d$ , определяемые интерференцией между рентгеновскими лучами, отраженными от всех слоев пленки, а также побочные максимумы, вклад в которые вносит интерференция между лучами, отраженными от двух поверхностных слоев [18–21]. Из рисунка видно, что увеличение температуры пленки мало влияет на интенсивность побочных максимумов, в то время как интенсивность брэгговского пика при  $T = T_2$  примерно в 2.5 раза меньше, чем при  $T = T_1$ . Именно такое поведение коэффициента зеркального отражения

наблюдалось в эксперименте по малоугловому рассеянию рентгеновских лучей на свободно подвешенных смектических-А пленках, образованных ЖК 7 АВ [21]. Полученный результат имеет очень простую физическую интерпретацию. Модель [26,27,29] предсказывает довольно незначительное уменьшение ориентационного и позиционного порядков в поверхностных слоях пленки при ее нагревании. В то же время, согласно этой модели, вблизи предельной температуры существования пленки  $T = T_2$  ориентационное и позиционное упорядочения



**Рис. 2.** Зависимости коэффициента диффузного рассеяния рентгеновских лучей (в произвольных единицах) от  $Q_z$  для 24-слойной свободно подвешенной смектической-А пленки при различных значениях компоненты  $Q_{\perp}$  переданного импульса.  $T = T_1$ . 1 —  $Q_{\perp}/Q_1 = 0.001$ ; 2 —  $Q_{\perp}/Q_1 = 0.003$ ; 3 —  $Q_{\perp}/Q_1 = 0.007$ ; 4 —  $Q_{\perp}/Q_1 = 0.01$ .



**Рис. 3.** Те же зависимости, что и на рис. 2 при  $T = T_2$ . 1 —  $Q_{\perp}/Q_1 = 0.001$ ; 2 —  $Q_{\perp}/Q_1 = 0.003$ ; 3 —  $Q_{\perp}/Q_1 = 0.007$ .

в ее внутренних слоях должны быть значительно ниже, чем при  $T = T_1$ . Но интерференция между рентгеновскими лучами, отраженными от внутренних слоев пленки, вносит вклад лишь в главный брэгговский максимум и совершенно не влияет на интенсивность побочных максимумов. Таким образом, экспериментально наблюдаемые значительное уменьшение главного брэгговского пика и довольно малое понижение побочных максимумов могут рассматриваться как факты, подтверждающие справедливость модели [26,27,29]. При этом в теории нет необходимости вводить какие-то величины ad hoc, что, как уже отмечалось выше, необходимо делать в теории Holyst'a [22,23] для описания результатов экспериментов [20,21].

Результаты расчетов коэффициента диффузного рассеяния рентгеновских лучей на 24-слойной свободно подвешенной смектической-А пленке при температурах  $T = T_1$  и  $T_2$  приведены на рис. 2 и 3 соответственно. На этих рисунках показаны зависимости коэффициентов диффузного рассеяния от компоненты импульса отдачи  $Q_z$  вдоль нормали к пленке при нескольких значениях компоненты импульса отдачи  $Q_\perp$ , параллельной плоскости пленки. Как и в случае зеркального отражения (рис. 1), эти зависимости демонстрируют главные брэгговские пики при  $Q_z = Q_0 = 2\pi/d$ , а также побочные максимумы, которые являются результатом интерференции рентгеновского излучения, рассеянного на поверхностных слоях пленки. Как уже отмечалось в [18–21], существование этих максимумов говорит о конформности флуктуаций смещения различных слоев пленки. Другими словами, смектические слои флуктуируют не независимо друг от друга, а в унисон. Кроме того, из этих рисунков следует, что с ростом компоненты переданного импульса  $Q_\perp$  величина максимумов интенсивности диффузного рассеяния уменьшается, причем быстрее уменьшаются побочные максимумы. Наконец, при некотором значении  $Q_\perp$  побочные максимумы полностью исчезают, в то время как брэгговский пик, хотя и значительно ослабленный, все еще остается. Это говорит о потере конформности флуктуаций смещения различных слоев пленки с ростом  $Q_\perp$ , т.е. с уменьшением длин волн ондуляционных мод смещения [18–21]. При этом более быстрый спад побочных максимумов говорит о том, что в первую очередь теряют конформность флуктуации наиболее далеко отстоящих друг от друга поверхностных слоев пленки. Эти результаты полностью согласуются с результатами экспериментов [18–21] и могут быть описаны в рамках модели Holyst'a [22,23]. Однако рис. 2 и 3 демонстрируют одну существенную деталь поведения интенсивности диффузно рассеянного рентгеновского излучения, которая в принципе не может быть получена с помощью модели [22,23] и ее континуальных обобщений [24,25]. Из этих рисунков следует, что вблизи предельно высокой температуры существования свободно подвешенной смектической-А пленки  $T = T_2$  флуктуации смещения ее слоев должны терять конформность с ростом  $Q_\perp$  раньше, чем это имеет место при более низкой температуре  $T = T_1$ . Так,

согласно рис. 2 ( $T = T_1$ ), при  $Q_\perp = 0.007Q_1$ , где  $Q_1 = 2\pi/a$ ,  $a \approx 4\text{Å}$  — диаметр молекул, побочные максимумы диффузного рассеяния, хотя и очень слабые, но все же существуют. В то же время из рис. 3 видно, что при  $T = T_2$  побочные максимумы оказываются полностью подавленными при этом же значении  $Q_\perp$ . Это говорит о том, что флуктуации смещения поверхностных слоев пленки при предельно высоких температурах существования пленки становятся независимыми друг от друга при меньших значениях  $Q_\perp$ , т.е. для более длинноволновых ондуляционных мод смещения, чем при более низких температурах. Согласно уравнению (17), интенсивность диффузного рассеяния рентгеновских лучей на свободно подвешенной смектической-А пленке пропорциональна корреляции между флуктуациями смещения ее слоев. В [30] было показано, что рост температуры пленки приводит к ослаблению этих корреляций, причем сильнее всех уменьшаются корреляции для наиболее отдаленных друг от друга поверхностных слоев пленки. Такое уменьшение корреляций обусловлено значительным уменьшением модулей упругости  $K$  и  $B$  в центральной части пленки при ее нагревании, которое совершенно не учитывается в теории Holyst'a [22,23]. К сожалению, в [20,21] исследование диффузного рассеяния рентгеновского излучения на свободно подвешенных смектических-А пленках проводилось только при одной температуре ниже точки фазового перехода  $\text{Sm A} \rightarrow \text{N}$  в объеме ЖК, и в настоящее время нет возможности сопоставить приведенный выше теоретический результат с экспериментом. В связи с этим экспериментальное исследование диффузного рассеяния рентгеновских лучей на свободно подвешенных ЖК пленках вблизи предельно высоких температур их существования представляется весьма интересным.

## Список литературы

- [1] П. Де Жен. Физика жидких кристаллов. Мир, М. (1977). 400 с.
- [2] С. Чандрасекар. Жидкие кристаллы. Мир, М. (1980). 344 с.
- [3] P. Pieranski, L. Beliard, J.P. Tournellec, X. Leoncini, C. Furtlehner, H. Dumoulin, E. Riou, B. Jouvin, J.P. Fenerol, Ph. Palaric, J. Heuving, B. Cartier, I. Kraus. *Physica A* **194**, 1–4, 364 (1993).
- [4] C. Rosenblatt, R. Pindak, N.A. Clark, R.B. Meyer. *Phys. Rev. Lett.* **42**, 1220 (1979).
- [5] M. Veum, C.C. Huang, C.F. Chou, V. Surendranath. *Phys. Rev.* **E56**, 2, 2298 (1997).
- [6] C.Y. Young, R. Pindak, N.A. Clark, R.B. Meyer. *Phys. Rev. Lett.* **40**, 12, 773 (1978).
- [7] C. Rosenblatt, N.M. Amer. *Appl. Phys. Lett.* **36**, 6, 432 (1980).
- [8] S. Heinekamp, R.A. Pelcovits, E. Fontes, E.Y. Chen, R. Pindak, R.B. Meyer. *Phys. Rev. Lett.* **52**, 12, 1017 (1984).
- [9] E.B. Sirota, P.S. Pershan, S. Amador, L.B. Sorensen. *Phys. Rev.* **A35**, 5, 2283 (1987).
- [10] P. Lambooy, S. Gierlotka, W.H. de Jeu. *Europhys. Lett.* **12**, 4, 341 (1990).
- [11] C. Bahr, D. Fliegner. *Phys. Rev.* **A46**, 7657 (1992).

- [12] I. Kraus, P. Pieranski, E. Demikhov, H. Stegemeyer, J. Goodby. *Phys. Rev.* **E48**, 3, 1916 (1993).
- [13] T. Stoebe, P. Mach, C.C. Huang. *Phys. Rev. Lett.* **73**, 10, 1384 (1994).
- [14] P. Mach, S. Grantz, D.A. Debe, T. Stoebe, C.C. Huang. *J. Phys. II (Fr.)* **5**, 2, 217 (1995).
- [15] E.I. Demikhov, V.K. Dolganov, K.P. Meletov. *Phys. Rev.* **E52**, 2, R1285 (1995).
- [16] V.K. Dolganov, E.I. Demikhov, R. Fouret, C. Gors. *Phys. Lett.* **A220**, 242 (1996).
- [17] P. Johnson, P. Mach, E.D. Wedell, F. Lintgen, M. Neubert, C.C. Huang. *Phys. Rev.* **E55**, 4, 4386 (1997).
- [18] J.D. Shindler, E.A.L. Mol, A. Shalaginov, W.H. de Jeu. *Phys. Rev. Lett.* **74**, 5, 722 (1995).
- [19] J.D. Shindler, E.A.L. Mol, A. Shalaginov, W.H. de Jeu. *Phys. Rev.* **E54**, 1, 536 (1996).
- [20] E.A.L. Mol, G.C.L. Wong, J.M. Petit, F. Rieutord, W.H. de Jeu. *Phys. Rev. Lett.* **78**, 3157 (1997).
- [21] E.A.L. Mol, G.C.L. Wong, J.M. Petit, F. Rieutord, W.H. de Jeu. *Physica* **B248**, 191 (1998).
- [22] R. Holyst, D.J. Tweet. *Phys. Rev. Lett.* **65**, 17, 2153 (1990).
- [23] R. Holyst. *Phys. Rev.* **A44**, 6, 3692 (1991).
- [24] A. Poniewerski, R. Holyst. *Phys. Rev.* **B47**, 15, 9840 (1993).
- [25] A.N. Shalaginov, V.P. Romanov. *Phys. Rev.* **E48**, 2, 1073 (1993).
- [26] L.V. Mirantsev. *Phys. Lett.* **A205**, 412 (1995).
- [27] L.V. Mirantsev. *Liq. Cryst.* **20**, 4, 417 (1996).
- [28] Y. Martinez-Raton, A.M. Somoza, L. Mederos, D.E. Sullivan. *Phys. Rev.* **E55**, 3, 2030 (1997).
- [29] L.V. Mirantsev. *Phys. Rev.* **E55**, 4, 4816 (1997).
- [30] Л.В. Миранцев. *ФТТ* **41**, 10, 1882 (1999).
- [31] W.L. McMillan. *Phys. Rev.* **A4**, 3, 1238 (1971).